

طرح مرمت برج خشتی شماره‌ی ۳۲ در ارگ بم*

مهرداد حجازی^(۱) بینا حجازی^(۲) حامد مهداد^(۳) صبا حجازی^(۴)

چکیده ارگ بم بزرگ‌ترین ارگ خشتی جهان در شهرستان بم کرمان، تحت زلزله‌ی پنجم دی ماه ۱۳۸۲ به شدت آسیب دید. از آن زمان مطالعات و تحقیقات بسیاری برای مرمت و احیای این مجموعه‌ی تاریخی انجام شده است. برج خشتی ۳۲ یکی از اولین سازه‌ها در این ارگ بود که در طی یک پروژه، طرح مرمت آن تهیه و ارائه شد. هدف این پروژه، مطالعه‌ی رفتار لرزه‌ای برج به منظور تعیین دلیل آسیب‌های وارد شده، نواحی ضعیف این سازه در زلزله‌های آتی، بهترین راه برای بهبود رفتار لرزه‌ای، و مناسب‌ترین طرح مرمت بوده است. این مقاله دربرگیرنده مطالعات رفتار لرزه‌ای و طرح مرمت برج ۳۲ می‌باشد.

واژه‌های کلیدی برج خشتی، رفتار لرزه‌ای، مرمت، ارگ بم.

Restoration Plan of Adobe Tower No. 32 in the Bam Citadel

M. Hejazi B. Hejazi H. Mehdad S. Hejazi

Abstract The world largest adobe citadel in Bam (Arg-e Bam) was damaged seriously in the 26 December 2003 earthquake. Since then many studies and researches have been done to restore this historical complex. One of the first structures in the citadel for which a restoration plan was prepared over a project was adobe tower No. 32. The objective of this project was studying the seismic behaviour of the tower to find out the cause of damage, the weakest parts of the structure in future earthquakes, the best way to improve the seismic performance, and the most appropriate restoration plan. This paper presents the study on seismic behaviour of tower No. 32 and its restoration plan.

Keywords Adobe Tower, Seismic Behaviour, Restoration, Bam Citadel

★ تاریخ دریافت مقاله ۱۳۹۱/۱۲/۰۴ و تاریخ پذیرش آن ۹۳/۸/۲۱ می‌باشد.

(۱) نویسنده‌ی مسئول: دانشیار، گروه عمران، دانشکده فنی و مهندسی، دانشگاه اصفهان.

(۲) کارشناس مهندسی معماری، دانشکده معماری و شهرسازی، دانشگاه آزاد اسلامی، واحد اصفهان (خوارسگان).

(۳) کارشناس ارشد سازه دانشکده عمران، دانشگاه آزاد اسلامی، واحد نجف آباد.

(۴) دانشجوی کارشناسی مهندسی معماری، دانشکده معماری و شهرسازی، دانشگاه هنر اصفهان.

گوشه‌ی شمال شرقی ارگ واقع شده است. این برج دایره‌ای شکل (از نمای بیرونی) ۱۵ متر ارتفاع دارد. قطر آن در پایین $15/2$ متر و در بالا $10/8$ متر می‌باشد (شکل ۲). در اثر زلزله تعدادی ترک خوردگی بر روی برج لایه‌ی خارجی برج ایجاد شده و همین طور دیوار سمت شرقی آن تقریباً به طور کامل تخریب شده است، ولی دیوار سمت غربی برج (بخشی از دیوار شمالی ارگ) دچار هیچ خسارتی نشده است (شکل‌های ۳ و ۴). بررسی‌های باستان‌شناسی نشان‌گر وجود هسته‌ای به ضخامت حدوداً $1/5$ متر درون برج و در دیوارهای جانبی آن می‌باشد [۱].

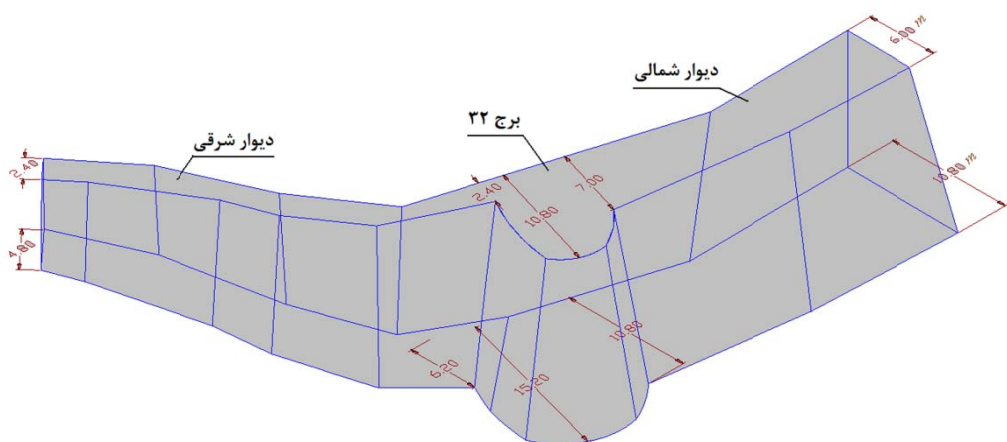
مقدمه

ارگ بم. ارگ بم با وسعتی قریب به 200000 متر مربع (شکل ۱) بزرگ‌ترین مجموعه‌ی خشتی-گلی جهان به شمار می‌رود. این مجموعه در طی 2000 سال عمر خود تغییرات و بازسازی‌های بسیاری را به خود دیده است. افزایش حجم و ظاهر برج و باروهای پیرامونی، هندسه‌ی نامتقارن، روش‌های نامناسب احیا و مرمت و برخی الحالات پی‌درپی در طی ادوار تاریخی مختلف، باعث شده است که این مجموعه در زلزله‌ی پنجم دی ماه ۱۳۸۲ بم، دچار خرابی‌های گسترده شود [۲ و ۱].

برج ۳۲. ساختار برج ۳۲ از خشت بوده است و در



شکل ۱ ارگ بم قبل از زلزله‌ی پنجم دی ۱۳۸۲



شکل ۲ هندسه‌ی برج ۳۲ و بخشی از دیوارهای جانبی آن



شکل ۳ خسارات وارد به لایه‌ی خارجی برج و دیوار شرقی آن در اثر زلزله



شکل ۴ برج ۳۲ و دیوارهای شرقی و شمالی ارگ بم

این پژوهه ایجاد و ارزیابی روش‌ها و ابزار طراحی برای معماران، مهندسان و صاحبان بنای بود. این پژوهه سه مرحله داشت. مرحله‌ی اول شامل ارزیابی اطلاعات و روش‌های مقاومسازی موجود و گسترش دستورالعمل‌های فنی موقعت برای استفاده در مقاومسازی لرزه‌ای سازه‌های خشتشی بود. طی مرحله‌ی دوم، تحقیقات لازم برای توسعه‌ی فن آوری مقاومسازی قابل قبول و برای تکمیل آنچه که در آن موقع شناخته شده بود، انجام شد. در مرحله‌ی سوم، مجموعه‌ای از دستورالعمل‌های برنامه‌ریزی و مهندسی برای مقاومسازی لرزه‌ای سازه‌های خشتشی تاریخی براساس نتایج تحقیقات و قضاوت حرفاًی تنظیم شد. این پژوهه شامل انجام تعداد زیادی آزمایش میز لرزان

مرور پیشینه‌ی تحقیق

از دهه‌ی ۱۹۷۰ علاقه به مطالعه‌ی رفتار و بهسازی لرزه‌ای بنایی خشتشی افزایش یافت و گروه‌های تحقیقاتی مختلفی پژوهش در این زمینه را آغاز نمودند. محققان دانشگاه کاتولیک پرو نقش مهمی در به دست آوردن اطلاعات در این زمینه و ارائه‌ی راهکارهای مقابله با زلزله ایفا نموده‌اند. نتایج تحقیقات سی و پنج ساله‌ی این گروه تا سال ۲۰۰۵ با جزئیات توسط وارگاس و همکاران [3] ارائه شده است. پژوهه‌ی خشت‌لرزه‌ای گتی، که هنوز نیز ادامه دارد، در سال ۱۹۹۰ توسط مؤسسه‌ی حفاظت گتی به منظور توسعه‌ی روش‌های فنی برای بهبود رفتار لرزه‌ای سازه‌های خشتی با حداقل مداخله شروع شد. هدف دراز مدت

بم در سال ۱۳۸۲ طی چند پروژه با مشارکت متخصصان ایرانی و خارجی از کشورهای فرانسه، آلمان و ژاپن و با هدایت پروژه‌ی نجات‌بخشی میراث فرهنگی ارگ بم شروع شد. این پروژه‌ها شامل مرمت برخی از سازه‌های مهم ارگ بم مانند برج ۱، خانه‌ی سیستانی، برج ۳۲ و بخشی از بازار با استفاده از روش‌های مختلف و متداول در کشورهای مذکور بود تا از نتایج آن بتوان در آینده برای تهیه‌ی یک دستورالعمل مناسب برای مرمت و مقاومسازی لرزه‌ای سازه‌های خشتی استفاده نمود [۱۴-۱۰].

مراحل طرح مرمت

طرح مرمت براساس منشورها و دستورالعمل‌های جهانی، مانند منشور ونیز (منشور بین‌المللی برای حفاظت و مرمت بنای و محوطه‌ها) [15] و دستور العمل‌های ISCARSAH (توصیه‌هایی برای تحلیل و مرمت سازه‌های تاریخی (کمیته‌ی بین‌المللی تحلیل و مرمت سازه‌های میراث معماری) [16] تهیه شده است. این منشورها و دستورالعمل‌ها بر مطالعه و بررسی با دخل و تصرف حداقلی در جهت تغییرات و رعایت اصالت مصالح، تکنولوژی، گونه‌شناسی و شرایط محیطی بنا در طی عملیات مرمت، تأکید دارند. در این منشورها استفاده از مصالح بادوام و سازگار با نمونه‌های اصلی به منظور مرمت، توصیه شده و مداخله بسیار در بنا، چه مصالح و چه ساختار، منع گردیده است. هم‌چنین ذکر شده است که کلیه مداخلات باید، در جهت استفاده از مصالح و تکنولوژی‌های جدیدتر و مناسب‌تر در آینده برگشت‌پذیر باشند.

هدف اصلی طرح مرمت برج ۳۲ بازگرداندن وضعیت آن به شرایط قبل از زلزله است. برای دست‌یابی به این هدف نواحی مختلفی از سازه تثبیت، تقویت و مرمت خواهند شد. هم‌چنین برخی از قسمت‌های از بین رفته به شکل و فرم اصلی بازسازی خواهند گردید. مراحل طرح مرمت برج در جدول (۱) ارائه شده است. مراحل ۲، ۴، ۹ و ۱۰ در ادامه شرح داده خواهند شد.

در ابعاد کوچک و بزرگ برای بررسی رفتار دیوارها و ساختمان‌های خشتی، و مطالعات دقیق ساختمان‌های خشتی آسیب‌دیده در زلزله‌ها بود [۱۰۱۲ و ۱۰۱۴]. آرامی و همکاران [۱۰۱۶] مروری کامل بر فعالیت‌های مؤسسه‌ی حفاظت گتی تا سال ۲۰۰۸ ارائه کرده‌اند. نوگوئز و ناوارو [۱۰۴۰] در سال ۲۰۰۵ چگونگی مرمت دیوارهای خشتی با شبکه‌هایی از مواد مصنوعی را با ساختن پنج دیوار به طول $2/3\text{ m}$ و ارتفاع $2/3\text{ m}$ ، که دو عدد آنها از خشت‌های معمولی و سه عدد آنها از خشت‌های صنعتی ساخته شده بودند، تحت بار مرده و بار جانی چرخه‌ای مورد آزمایش قرار دادند. دیوارهای با خشت‌های صنعتی از خود مقاومت و شکل‌پذیری بیشتری نشان دادند، هرچند در مواردی دچار گسیختگی‌های اساسی شدند. پس از مقاومسازی دیوارهای آسیب‌دیده با شبکه‌هایی از مواد مصنوعی که بر روی آنها پوشش ماسه و سیمان کشیده شده بود، مشخص شد که این روش مقاومسازی در برابر بارهای جانی روشی مناسب می‌باشد. در سال ۲۰۰۷ یامین و همکاران [۱۰۶۰] دیوار خشتی به طول $2/5\text{ m}$ ، ارتفاع 2 m و ضخامت $5/4-4/0\text{ m}$ را تحت ترکیب بارهای قائم و بارهای افقی چرخه‌ای وارد در بالای دیوار قرار دادند. دیوارها از جنس خشت یا چینه و به صورت تقویت نشده، تقویت شده با شبکه، و تقویت شده با چوب بودند. آزمایش‌ها نشان داد که استفاده از تقویت می‌تواند تا حدودی رفتار لرزه‌ای دیوارها را از طریق ایجاد پیوستگی و محصورشدن گسیختگی سازه‌ای بهبود بخشد و آسیب‌پذیری لرزه‌ای سازه‌های خشتی را کاهش دهد. در سال ۲۰۱۳ فیگوئردو و همکاران [۱۰۷۰] آزمایش‌هایی را بر روی یک دیوار خشتی تقویت نشده تحت بار افقی چرخه‌ای و سپس بر روی همان دیوار پس از مرمت توسط تزریق با فشار ملات آهک در داخل ترک‌ها و مقاومسازی با شبکه‌ای از جنس مواد مصنوعی انجام دادند. آنان به این نتیجه رسیدند که در وضعیت مرمت و تقویت شده، رفتار لرزه‌ای دیوار به مقدار قابل توجهی بهبود یافته است. مطالعات علمی در مورد مقاومسازی سازه‌های خشتی پس از وقوع زلزله‌ی

جدول ۱ مراحل طرح مرمت برج خشتی ۳۲

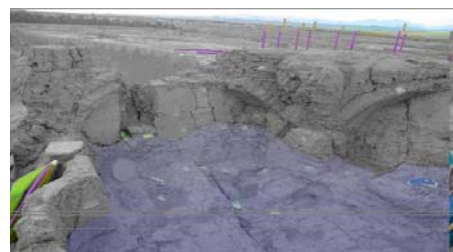
مرحله	شرح عملیات
۱	بررسی تاریخی بنا
۲	بررسی باستانشناسی بنا
۳	بررسی معماری و مستندات موجود در مورد شرایط فعلی بنا
۴	آسیب‌شناسی بنا
۵	تست‌های آزمایشگاهی برای تعیین خواص مکانیکی مصالح موجود
۶	بررسی تکنیک‌های بومی و محلی مرمت
۷	بررسی مواد در دسترس (مانند خاک، خشت، الیاف درخت خرما و ...) به منظور ترمیم بخش‌های موجود و بازسازی نواحی تخریب شده‌ی بنا
۸	انتخاب روش و مصالح مرمت براساس منشورهای بین‌المللی و نتایج تست‌های آزمایشگاهی
۹	آنالیز سازه‌ای بنا اصلی به منظور ارزیابی میزان آسیب‌پذیری لرزه‌ای آن
۱۰	بررسی صحت نتایج تحلیل سازه و طرح مقاوم‌سازی سازه بنا
۱۱	تهییی نقشه‌های مرمت و مقاوم‌سازی قسمت‌های موجود بنا و بازسازی نواحی تخریب شده
۱۲	پایان بررسی‌ها و تحقیقات
۱۳	اجرای طرح مرمت، بازسازی و مقاوم‌سازی لرزه‌ای بنا.

گمانه‌ی ۲: بالای دیوار شمالی. با هدف مشخص ساختن لایه‌های تشکیل‌دهنده‌ی حصار (دیوار)، و نحوه‌ی اتصال آن با برج، ترانشه‌ای در ابعاد ۱۲۰۰×۶۰۰ سانتی متر ایجاد شد. پس از پاک‌سازی اولیه و برداشتن سطحی‌ترین لایه که خاک باران خورده بود، ۴ لایه‌ی عمودی در کنار هم مشاهده شد. لایه‌ی اول، حصار (دیوار) اصلی و قدیمی است که در ابعاد $۳۷ \times ۳۷ \times ۷$ سانتی متر و از خشت‌های ۱۲۰۰×۳۳۰ سانتی متر تشکیل شده است. این لایه در قسمت وسط قرار گرفته است و دو نمای خارجی و داخلی آن طی کاوش به دست آمد. نمای بیرونی، دارای شیبی متوسط به طرف خارج است و نمای درونی با شیب بسیار کم تا پایین ادامه پیدا کرده است. بر روی دو نمای موجود، لایه‌ی کاهگل نیز مشاهده می‌شود (شکل ۶). لایه‌ی دوم، در قسمت شمال لایه‌ی اول قرار گرفته و از حصار قدیمی تا پای دیوار کنگره‌دار محدود می‌شود و در ابعاد ۱۲۰۰×۱۳۵ سانتی متر است و از گل متراکم و فشرده تشکیل شده است (شکل ۷). لایه‌ی سوم، دیوار خشتی دارای کنگره است که در حال حاضر خارجی‌ترین قسمت حصار است. این دیوار دارای

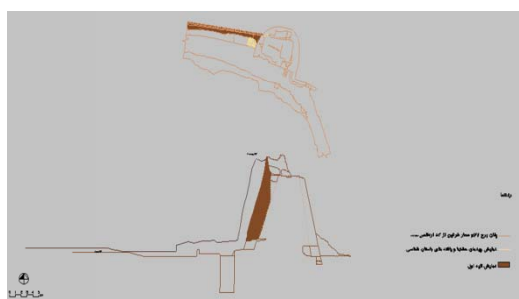
باستان‌شناسی برج ۳۲

در جهت شناخت واحدهای معماری و لایه‌های تشکیل دهنده‌ی برج ۳۲ واقع در حصار شمالی ارگ بم، گمانه‌هایی حفر شده است.

گمانه‌ی ۱: ناحیه‌ی بالای برج (کف اتاق نگهبانی). در بالای برج اتاقی قرار دارد که در اثر زلزله پوشش گندی آن دچار ریزش گردیده است ولی دیوارهای اتاق با درصدی تخریب، باقی مانده‌اند (شکل ۵). این دیوارها از سه لایه تشکیل شده‌اند؛ خشت‌های $۳۷ \times ۳۷ \times ۷$ سانتی متر در پایه‌ی دیوارها، چینه در میانه و خشت‌های $۲۳ \times ۲۳ \times ۵$ سانتی متر در بالا و در پوشش‌های باقی مانده از سقف. این نتایج از گمانه‌ای به ابعاد $۳ \times ۳ / ۵$ متر در داخل و در کف اتاقک بالای برج حاصل شده است.



شکل ۵ بخش‌های باقی مانده‌ی دیوارهای اتاق روی برج



شکل ۸ لایه‌ی سوم حصار (دیوار) طبق بررسی‌های باستان‌شناسی

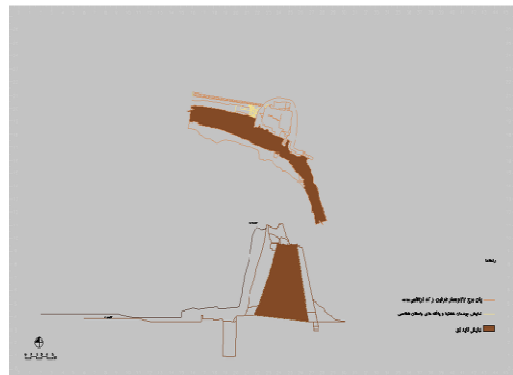


شکل ۹ لایه‌ی چهارم حصار (دیوار) طبق بررسی‌های باستان‌شناسی

گمانه‌ی ۳: محدوده‌ی غربی برج (بین پایه‌ی برج و حصار شمالی). جهت مشخص شدن پایه‌ی برج، حصار و بستر اصلی آن، گمانه‌ای به ابعاد 5×3 متر ایجاد شد (شکل‌های (۱۰) و (۱۱)). پس از برداشت حدود ۰/۵ متر از سطح دامنه‌ی حصار (دیوار)، به پایه‌ی پوسته‌ی برج، که در واقع همان لایه‌ی سوم حصار است و به صورت یک لایه‌ی الحاقی، حول حصار قدیمی در قسمت خارجی کشیده شده، دسترسی حاصل شد که از خشت‌های $37 \times 37 \times 7$ سانتی‌متر تشکیل شده‌است.

از گمانه‌ی کوچکی که در همین محدوده بر روی این پوسته، با هدف یافتن پایه‌ی حصار قدیمی و عرض پوسته‌ی موجود، ایجاد شد، مشخص گردید که حصار قدیمی در ارتفاع $0/7$ متر بالاتر از پایه‌ی پوسته و یا لایه‌ی سوم حصار قرار گرفته و بر روی یک لایه‌ی ماسه‌ای ساخته شده‌است. عرض لایه‌ی سوم یا پوسته نیز $2/5$ متر است. حصار از بالا و قسمت انتهایی حصار با شیب متوسطی به نزدیک پایه رسیده و سپس مقداری عریض تر شده و تا پایه ادامه پیدا کرده‌است.

شیب متوسطی است و به صورت پوسته‌ای در اطراف حصار اولیه کشیده شده‌است. این لایه از قسمت پایه تا ۵۰ سانتی‌متر بالاتر از بام حصار، از خشت‌های $37 \times 37 \times 7$ سانتی‌متر و سپس تا انتهای کنگره‌های موجود از خشت‌های $23 \times 23 \times 5$ سانتی‌متر تشکیل شده‌است و لایه‌ی کاهگلی نیز بر روی آن دیده می‌شود که در اثر عوامل جوی چهار فرسایش ناشی از نزولات جوی و وزش باد شده‌است (شکل ۸). لایه‌ی چهارم، در قسمت جنوب لایه‌ی اول قرار گرفته و عرض آن ۱۳۰ سانتی‌متر است و از چینه تشکیل شده‌است. در قسمت‌های میانه به پائین، علاوه بر چینه، خشت نیز به عنوان لایه‌ی دوم مشاهده می‌شود. این لایه به صورت نامنظم و بدون ترتیب و دقت خاصی ساخته شده‌است. لایه‌ی چهارم، لایه‌ی الحاقی ای است که از داخل ارگ به تناسب فضا و نیاز، به آن افزوده شده‌است (شکل ۹).



شکل ۶ لایه‌ی اول حصار (دیوار) طبق بررسی‌های باستان‌شناسی



شکل ۷ لایه‌ی دوم حصار (دیوار) طبق بررسی‌های باستان‌شناسی

گمانه‌ی ۵: قسمت داخلی و در پای حصار شمالی. جهت به دست آوردن پایه‌ی حصار (دیوار) شمالی اولیه از داخل و تعیین پی آن، گمانه‌ای در محدوده‌ی داخلی ارگ، در پای حصار و برج (در داخل لایه‌ی چهارم، چینه و خشت الحاقی) ایجاد شد (شکل ۱۲).



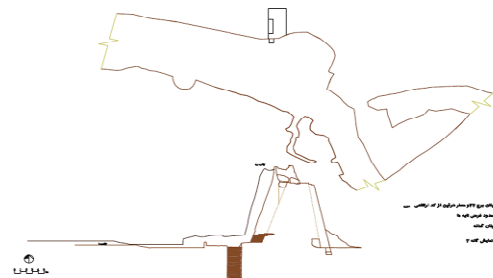
شکل ۱۲ گمانه‌ی ۵ در نمای داخلی برج و در پای حصار شمالی

این گمانه پس از برداشت $1/3$ متر از لایه‌ی خشتی، به صورت افقی، به دیواری از جنس چینه رسید. این دیواره در امتداد نمای خشتی داخلی حصار قدیمی (لایه‌ی اول) است. بر روی لایه‌ی مت Shank از چینه، آثار دودزدگی دیده می‌شود و لایه‌ی الحاقی خشتی در جلوی آن قرار گرفته است.

دیواره‌ی چینه‌ای در واقع پسی حصار قدیمی (لایه‌ی اول) است و آثار دودزدگی بر روی آن نشان از استفاده به عنوان نمای داخلی حصار در یک دوره‌ی زمانی دارد.

خلاصه‌ی فعالیت‌های باستان‌شناسی. با توجه به اطلاعات حاصل از گمانه‌ها در برج ۳۲، نتایج ذیل

در همین قسمت با هدف رسیدن به بستر اصلی و با فرضیه‌ی بستر سنگی، گمانه ادامه پیدا کرده و در ارتفاع $7/5$ متر از ابتدای پایه برج به کف سنگی (دامنه‌ی صخره‌ی سنگی واقع در زیر بنای محدوده حاکم‌نشین) رسیده است.



شکل ۱۰ گمانه‌ی ۳ در محدوده‌ی غربی برج، بین پایه‌ی برج و حصار شمالی و بر روی دامنه‌ی کم ارتفاع آنها

گمانه‌ی ۴: بدنۀ برج. جهت تکمیل مطالعات برج ۳۲ و با هدف کشف پایه‌ی برج (به شکل نیم‌دایره) و به دست آوردن حدود شیب برج قدیمی، دو گمانه در بدنۀ آن ایجاد گردید.

حفره‌ی شماره‌ی ۱ در میانه‌ی برج به صورت افقی ایجاد شد (شکل ۱۱) که پس از حدود 2 متر دیواره‌ی منحنی برج همراه با لایه‌ی کاهگل مشاهده گردید. در ادامه‌ی جهت رسیدن به پایه‌ی برج، حفره‌ی شماره‌ی ۲ در دامنه‌ی حصار و مماس با برج ایجاد شد (شکل ۱۰) و پس از پیش‌روی به داخل و حذف خشت‌های لایه‌ی بیرونی، در حدود $2/5$ متر، پایه‌ی برج نیز مشخص گردید.



شکل ۱۱ گمانه‌های ۳ و ۴ در نمای خارجی برج. گمانه‌ی ۳ سمت راست تصویر و در تقاطع دیوار و برج، حفره‌ی ۱ از گمانه‌ی ۴ در میانه‌ی تصویر و حفره‌ی ۲ از گمانه‌ی ۴ سمت چپ و در میانه‌ی بدنۀ برج می‌باشد

- در وسط، لایه‌ای از گل متراکم و فشرده که از حصار اولیه تا پای دیوار کنگره‌دار ادامه دارد، دیوار خشتی کنگره‌دار، و دیوار الحاقی چینه‌ای که در محدوده‌ی جنوبی حصار اولیه قرار گرفته است.
- ۷- نمای خارجی حصار اولیه با پوشش کاهگل بوده و با شبی ملايمی تا پایه ادامه پیدا کرده است.
- ۸- دیوار خشتی دارای کنگره یا لایه سوم، در بخش خارجی حصار به عنوان یک لایه‌ی الحاقی با هدف مستحکم‌تر و عریض‌تر کردن آن، ساخته شده است. این لایه هر چه به پایه نزدیک‌تر می‌شود دارای شبی بیشتری می‌گردد و به ضخامت آن افزوده می‌شود.
- ۹- لایه دوم جهت پر کردن فضای بین حصار اولیه و دیوار خشتی کنگره‌دار ایجاد شده است.
- ۱۰- دامنه‌ی صخره‌ی سنگی که حاکم‌نشین بر روی آن ساخته شده، تا حصار شمالی و بالاخص برج ۳۲ ادامه پیدا کرده است.

آسیب‌شناسی برج ۳۲

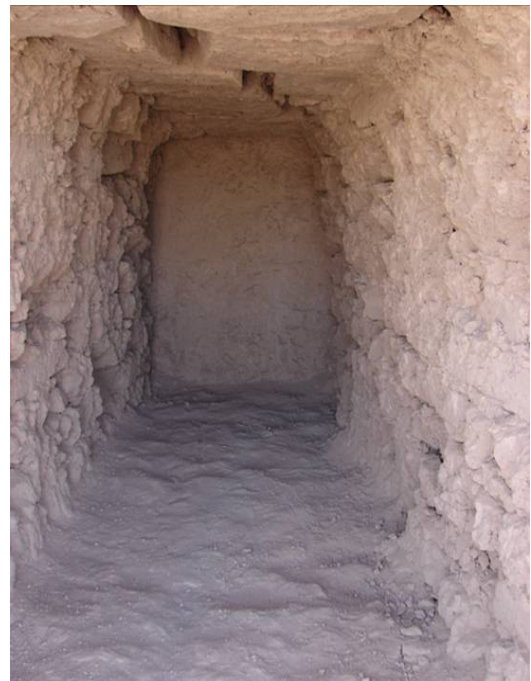
برج ۳۲ در گوشه‌ی شمال شرقی و در ابتدای شکستگی حصار پیرامونی ارگ بم قرار گرفته است (شکل ۱۴). این برج در اثر زلزله در نمای بیرونی دچار ترک‌های برشی بر روی پوسته‌ی خارجی خود شده است. در حالی که در نمای داخلی این ترک‌ها مشاهده نمی‌شوند (شکل ۳) و فقط فروریختگی بخشی از مصالح اتاق فوقانی آن دیده می‌شود. اتاق نگهبانی بالای برج در زلزله، به‌غیر از قسمتی از آن، تخریب شده است (شکل ۵). دیوار شرقی برخلاف دیوار شمالی دچار تخریب وسیعی شده است (شکل ۴). در عین حال برج مذکور سالم‌ترین برج در حصار پیرامونی ارگ پس از زلزله محسوب می‌گردد.

حاصل آمده‌اند:

۱- فرم نیم‌دایره‌ای برج از نمای خارجی.

۲- چیدمان نامنظم خشت‌های قسمت شمالی و هم‌ردیف بودن خشت‌های قسمت جنوبی ترانشه.

۳- وجود پوشش کاهگل در نمای لبه نیم‌دایره تا پایه‌ی برج.



شکل ۱۳ فضای داخلی حفره‌ی ۱ از گمانه‌ی ۴؛ به ترتیب خوردگی ناحیه‌ی بالای گمانه که تا هسته‌ی برج (در انتهای گمانه) ادامه دارد، توجه شود

۴- تشکیل برج از دو لایه‌ی شامل هسته برج که از پایه تا بالاترین سطح موجود ادامه دارد و پوسته‌ی الحاقی حول آن که با هدف مستحکم‌تر و بزرگ‌تر کردن برج ایجاد شده است (شکل ۱۳).

۵- جداسدگی پوسته و لایه‌ی الحاقی خارجی از هسته‌ی برج ناشی از زلزله (لغزش پوسته بر روی هسته‌ی برج).

۶- تشکیل حصار محدوده‌ی غربی برج از چهار لایه شامل دیوار خشتی با عرض ۳/۳ متر (حصار اولیه)

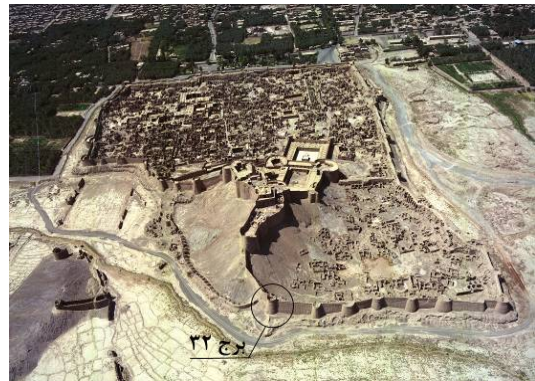
[۱۹]. با توجه به اطلاعات موجود، سعی شده است از دو شتاب نگاشت زلزله‌ی واقعی اتفاق افتاده در مناطق دیگر که تا حد امکان با شرایط تکتونیکی و لرزه‌ای بم مطابقت دارند علاوه بر شتاب نگاشت زلزله‌ی بم استفاده شود. رکوردهای زلزله مورد استفاده به شرح ذیل است:

- مؤلفه‌ی شرقی - غربی رکورد زلزله‌ی پنجم دی ۱۳۸۲ بم- ایران به بزرگی ۶/۵ ریشتر (شکل ۱۵).

- مؤلفه‌ی طولی رکورد زلزله هفدهم فروردین ۱۳۵۶ ناغان به بزرگی ۶ ریشتر و ضریب مقیاس ۰/۸ (شکل ۱۶).

- مؤلفه‌ی شمالی - جنوبی رکورد زلزله هجدهم می ۱۹۴۰ استرو به بزرگی ۷/۱ ریشتر و ضریب مقیاس ۱/۵ (شکل ۱۷).

جهت مقیاس کردن شتاب نگاشت‌ها براساس استاندارد ۲۸۰۰، شتاب نگاشت‌های مورد استفاده به مقدار حداقل خود مقیاس شده‌اند. طیف پاسخ شتاب هر یک از شتاب نگاشت‌های مقیاس شده با منظور کردن نسبت میرایی ۵٪ ساخته شده‌است. سپس طیف پاسخ در محدوده زمان‌های تناوب $0/2T$ و $1/5T$ با طیف طرح استاندارد که از حاصل ضرب مقادیر ضریب بازتاب ساختمان برای زمین نوع ۲ در پارامترهای نسبت شتاب مبنا ($A=0/3$) پهنه با خطر نسبی زیاد (bm) و ضریب اهمیت ساختمان ($I=1/2$) ساختمان‌های با اهمیت زیاد، ساختمان‌هایی که خرابی آن‌ها سبب از دست رفتن ثروت ملی می‌گردد) با فرض نسبت میرایی ۵٪ به دست می‌آید مقایسه گردیده و ضریب مقیاس آن چنان تعیین شده که در این محدوده مقادیر طیف‌ها در هیچ حالت کمتر از $1/4$ برابر مقدار نظری آن در طیف استاندارد نباشد. ضریب مقیاس تعیین شده، در شتاب نگاشت‌های مقیاس شده (به مقدار حداقل خود) ضرب شده و در تحلیل دینامیکی مورد استفاده قرار گرفته است.



شکل ۱۴ عکس هوایی از ارگ تاریخی بم؛ موقعیت برج ۳۲ با دایره‌ای حول آن مشخص شده است

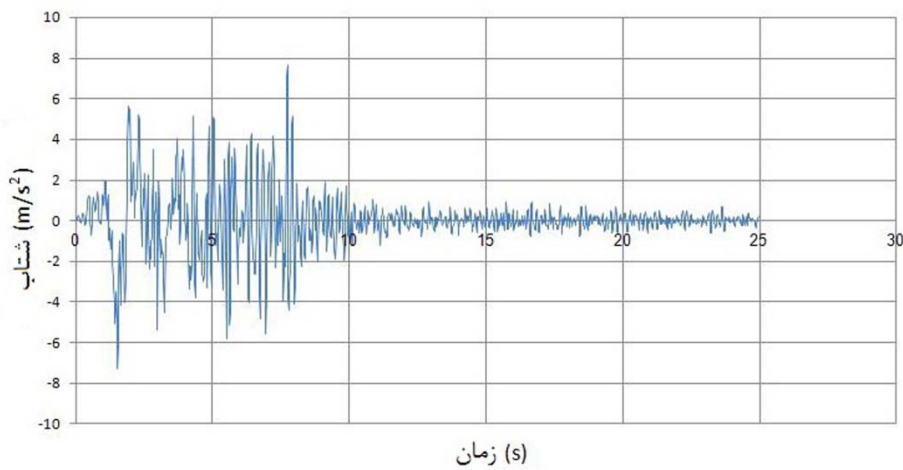
روش آنالیز

جهت بررسی رفتار برج ۳۲ در مقابل زلزله، آنالیزهای دینامیکی غیرخطی به روش المان محدود توسعه نرم افزار (v:11) ANSYS Workbench [17] بر روی مدل‌های سه بعدی سازه آن انجام شده است. هندسه و ابعاد المان‌ها پس از آنالیز حساسیت و انجام تعداد زیادی آنالیز بر روی سازه‌ی برج ۳۲ تحت رکورد زلزله‌ی بم انتخاب شد به‌طوری در آخرین مدل، آسیب‌های نشان داده شده بسیار نزدیک به آسیب‌های واقعی به‌دست آمد.

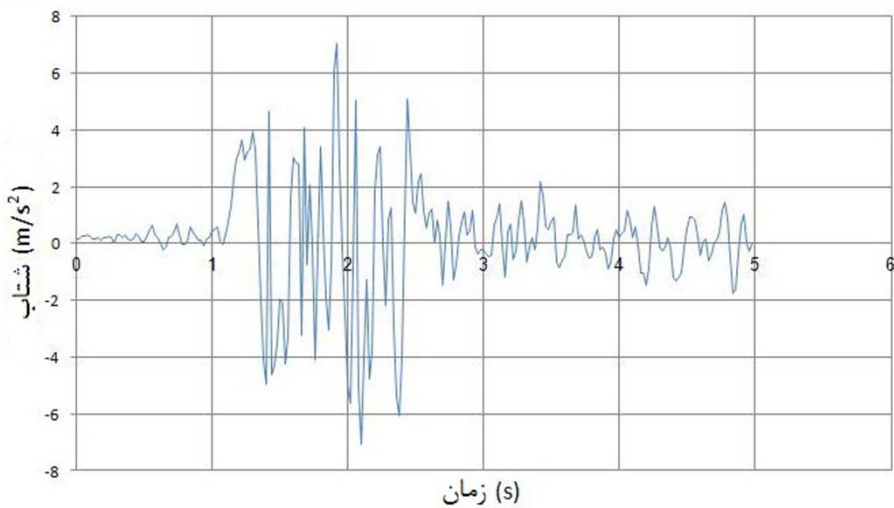
جهت بررسی وقوع شکست در سازه (ترک خوردنگی و یا خردشدنگی) مقادیر تنش در نواحی مختلف سازه در سرتاسر زمان زلزله با مقادیر مقاومت‌های مصالح که در جدول (۲) ذکر شده‌اند، مقایسه گردیده‌اند.

بارگذاری

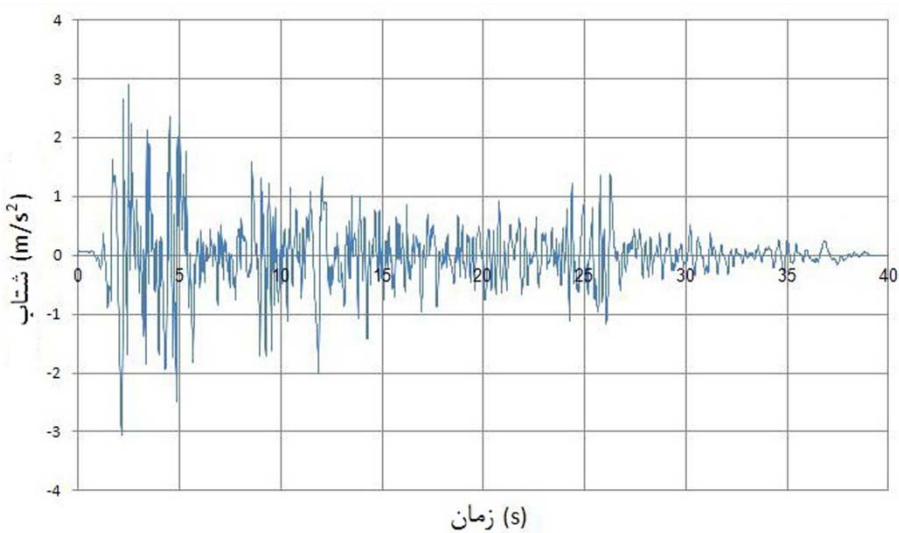
براساس استاندارد ۲۸۰۰ [۱۸]، از سه رکورد زلزله‌ی مقیاس شده، برای آنالیزهای دینامیکی تاریخچه‌ی زمانی استفاده شده است و از نتیجه‌ی بحرانی تر در بررسی‌های سازه استفاده گردیده است. زمین منطقه‌ی مورد مطالعه طبق استاندارد ۲۸۰۰ از نوع ۲ می‌باشد



شکل ۱۵ رکورد زلزله ۱۳۸۲ بم (مؤلفه‌ی شرقی-غربی) [۱]



شکل ۱۶ رکورد اصلاح شده زلزله ۱۳۵۶ ناغان (ضریب اصلاح ۰/۸) [۱]



شکل ۱۷ رکورد اصلاح شده زلزله ۱۹۴۰ السترو (مؤلفه‌ی شمالی جنوبی و ضریب اصلاح ۱/۵) [۱]

جدول ۲ خصوصیات مکانیکی خشت [۱۰، ۱] و [۲۱، ۲۰، ۱۴]

۱۶۰۰	وزن مخصوص (kg/m ³)
۱۰۵	مدول الاستیسیته (MPa)
۰/۱۷	ضریب پواسون
۰/۳۶	مقاومت فشاری (MPa)
۰/۰۳۶	مقاومت کششی (MPa)
۰/۴۵	مقاومت خردشده (MPa)
۰/۰۴۵	مقاومت ترک خورده (MPa)
۰/۲	ضریب اصطکاک بین دو سطح خشتی

جدول ۳ خصوصیات دینامیکی به کار رفته در آنالیزها [۱]

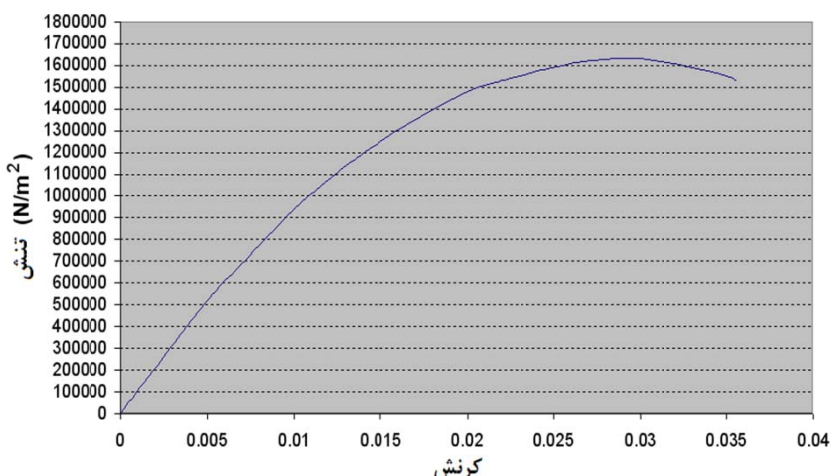
تاریخچه زمانی	نوع آنالیز دینامیکی
۷	درصد میرابی
۹/۸۱	شتاب گرانش زمین (m/s ²)

خصوصیات مصالح

نوع مصالح مورد استفاده در سازه‌ی برج از نوع خشت و گل و در برخی قسمت‌ها آمیخته با کاه می‌باشد. در طرح مرمت ترک‌ها و همین‌طور کنگره‌های برج از المان‌های FRP و شبکه‌های ژئوگرید بهره گرفته شده‌است. خصوصیات مکانیکی مصالح خشتشی مشخص شده در جدول (۲)، براساس مطالعات جامع و نتایج آزمایشگاهی بر روی بلوك‌های خشتی ارگ بم [۱۰] حاصل شده‌اند. دیاگرام تنش-کرنش خشت حاصله در شکل (۱۸) از نتایج آزمایشگاه ارگ بم بود که به‌دلیل عدم قرارگیری نقطه‌ی صفر در مرکز مختصات، بر اساس اصول مقاومت مصالح اصلاح گردیده‌است. مشخصات دینامیکی به کار رفته در آنالیز‌های لرزه‌ای همین‌طور خصوصیات مکانیکی مصالح FRP و ژئوگرید به ترتیب در جداول (۳) و (۴) آورده شده‌اند.

جدول ۴ خصوصیات مکانیکی میلگردهای FRP و ژئوگرید [۱]

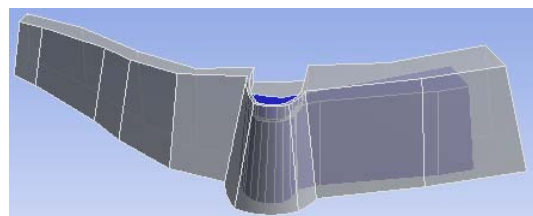
۱	مقاومت کششی (GPa)	میلگرد FRP به قطر 22mm زنگرید GX 55
۴۰	مدول الاستیسیته (GPa)	
۵۵	مقاومت کششی الیاف (kN/m)	
۷/۵	کرنش نظیر مقاومت کششی الیاف (%)	
۰/۵	ضریب کاهش مقاومت کششی	



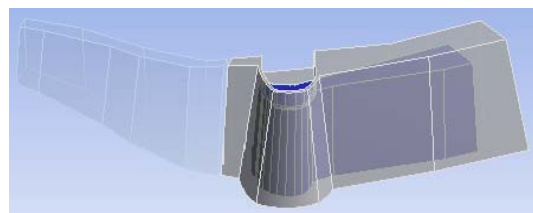
شکل ۱۸ دیاگرام تنش-کرنش اصلاح شده خشت‌های قدیمی در ارگ بم [۱]

دیده می‌شود دیوار سمت چپ (دیوار شرقی) برج از بالا تا پایین با یک شکاف (درز انقطاع) به عرض $0/5$ متر از قسمت انتهایی خود که به برج متصل شده است، جدا شده تا اثر عدم اتصال این دیوار ضعیف به برج در کاهش تنش‌ها و خسارات بررسی شود.

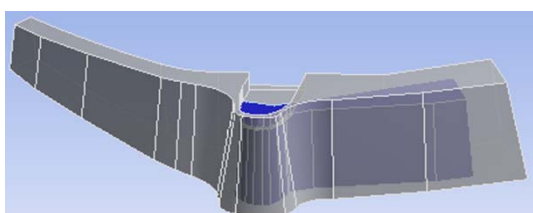
مدل ۳. این مدل شامل برج و دیوارهای دو طرف با اعمال تغییراتی در هندسه دیوارها جهت افزایش تدریجی ضخامت دیوارها در محل اتصال به برج می‌باشد. همان‌طور که در شکل (۲۱) دیده می‌شود دیوار سمت چپ (دیوار شرقی) برج در تصویر ضخیم‌تر شده و شکستگی‌ها و گوشه‌های تیز که باعث ایجاد تمرکز تنش می‌شوند حذف شده‌اند.



شکل ۱۹ وضعیت شماتیک برج قبل از زلزله با بخشی از دیوارهای کناری (مدل ۱)



شکل ۲۰ وضعیت شماتیک برج قبل از زلزله در حالت دیوار سمت چپ (شرقی) جدا شده توسط درز انقطاع با عرض $0/5$ متر (مدل ۲)



شکل ۲۱ وضعیت شماتیک برج با اعمال تغییراتی در هندسه‌ی دیوار سمت چپ (شرقی) و در هندسه‌ی اتصال دیوارهای جانبی به برج (مدل ۳)

مدل‌های بررسی شده

جهت بررسی رفتار دینامیکی و بررسی وضعیت تنش‌ها و همین‌طور موقعیت‌یابی خرابی‌های سازه‌ی برج از آنالیز‌های دینامیکی غیرخطی استفاده شده است. در آنالیز دینامیکی از سه شتاب‌نگاشت، زلزله‌های بم، ناغان و السترو که قبلاً به آن اشاره گردید، استفاده شده است. رفتار مصالح سازه نیز با معروفی دیگرام تنش - کرنش غیرخطی (مطابق آنچه در مطالعات و آزمایشات مقاومت مصالح در آزمایشگاه سایت ارگ بم حاصل شده) تعریف گردیده است. به‌دلیل آن‌که سازه در قسمت برج و دیوار شمالی آن دارای هسته‌ای با عدم اتصال به پوسته‌ی خود می‌باشد نیاز به مدل‌سازی عملکرد اصطکاکی با درنظر گرفتن ضربه اصطکاکی مناسب برای آن بوده است.

مدل‌های مورد بررسی شامل ۳ حالت مختلف هستند که در ادامه معرفی خواهند شد. جهت بررسی واقع بینانه‌تر سازه، از لحاظ شرایط تکیه‌گاهی دو طرف و همین‌طور اثر وجود دیوارها (اندرکنش بین دیوارها و برج)، دو دیوار کناری برج هر کدام تنها به طول 20 متر، یعنی در حدود نصف کل طول هر دیوار، مدل‌سازی شده‌اند. این طول بر اساس آنالیز حساسیت به‌دست آمده است.

مدل ۱. این مدل شامل وضعیت برج و دیوارهای دو طرف مطابق با وضعیت قبل از زلزله می‌باشد. همان‌طور که در شکل (۱۹) دیده می‌شود دیوار سمت چپ برج (دیوار شرقی) دارای تغییر در ضخامت می‌باشد که در واقع به صورت یک نقطه ضعیف و با پتانسیل بالا در تخریب تحت تغییر شکل‌های جانبی به‌نظر می‌رسد.

مدل ۲. این مدل شامل برج و دیوارهای دو طرف مطابق با وضعیت قبل از زلزله ولی با جداسازی دیوار شرقی از برج در ناحیه‌ی تخریب شده (ناحیه‌ی کم ضخامت) می‌باشد. همان‌طور که در شکل (۲۰)

اتصال دیوار شرقی (دیوار سمت چپ در شکل‌های (۲)، (۳)، (۴) و (۲۲)) می‌باشد، که باعث خرابی این دیوار شده‌است. عملکرد مدل ۳ (سازه با تغییرات در هندسه‌ی دیوار شرقی و اتصال دیوارهای جانی به برج) نشان‌دهنده‌ی اثر بهتری برای بنا نبوده به صورتی که هنوز اتصال دیوار شرقی به برج دچار خسارت شده‌است. این در حالی است که جدایی دیوار شرقی از برج (مدل ۲) با یک درز انقطاع به عرض ۰/۵ متر در امتداد ارتفاع دیوار، باعث کاهش خرابی‌ها و خسارات به سازه می‌شود.

نتایج آنالیزها

خلاصه‌ی نتایج حاصل شده از آنالیز مدل‌های سازه‌ای ۱، ۲ و ۳ تحت زلزله‌های بم، ناغان و السنترو در جداول (۵) تا (۷) آورده شده‌است. کانتورهای ضریب اطمینان در شکل‌های (۲۲) تا (۲۴) نشان داده شده‌اند که در آنها اعداد کمتر از ۱ به معنای خسارت دیدن سازه و اعداد بزرگ‌تر از ۱ به معنای سالم ماندن آن است. بر اساس شکل‌های (۲۲) تا (۲۴)، مدل ۱ (سازه‌ی اولیه بدون تغییر) دقیقاً همان خسارتی را که در زلزله‌ی بم به بنا وارد شده‌است، تجربه می‌کند. نتایج حاکی از آن است که ضعیف‌ترین ناحیه‌ی بنا محل

جدول ۵ نتایج آنالیز مدل‌های ۱ و ۲ تحت زلزله‌ی بم

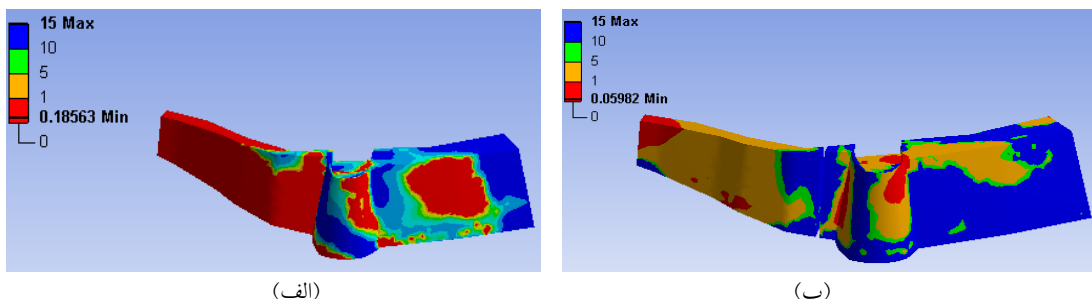
توضیحات	مدل ۲	مدل ۱	پارامتر مورد بررسی
به دلیل ضعف هندسی سازه، مدل ۱ قادر به تحمل زلزله نیست. خرابی دیوار شرقی در مدل ۱ باعث شده‌است تا آنالیز سازه در زمان ۱/۹۶ ثانیه متوقف شود.	کامل شده	کامل شده	وضعیت آنالیز
	۰/۰۰	۰/۰۰	زمان شروع آنالیز
	۲۵/۰۲	۱/۹۶	زمان پایان آنالیز (s)
در هر دو مدل، پریود ارتعاشی تقریباً دو برابر شده‌است در واقع به دلیل ترک خوردگی و خردشگی سختی سازه کاهش یافته‌است.	۰/۳۲	۰/۳۱	پریود ارتعاشی سازه در شروع آنالیز (s)
	۰/۶۱	۰/۷۲	پریود ارتعاشی سازه در پایان آنالیز (s)
ترک خوردگی در هر دو مدل ایجاد شده‌است.	۰/۲	۰/۰۸	تنش کششی (MPa) حداکثر
در مدل ۲، تنش فشاری موجود کمتر از مقاومت فشاری می‌باشد (جدول ۲)؛ بنابراین، خردشگی در مدل ۲ به وجود نمی‌آید. به دلیل کامل نشدن آنالیز در مدل ۱ نمی‌توان در مورد شدت تنش فشاری مقایسه‌ای انجام داد.	۰/۲	۰/۲	تنش فشاری (MPa) حداکثر
تغییر شکل جانی در راس سازه در مدل ۲ کمتر از حد مجاز شده‌است (یک درصد ارتفاع سازه، ۰/۱۵ متر) [۱۸]. به دلیل عدم تکمیل آنالیز در مدل ۱ بررسی تغییر شکل جانی آن ممکن نیست.	۰/۱	۰/۰۵	تغییر شکل جانی (m) حداکثر
کانتورهای ضریب اطمینان (شکل ۲۲)، نشان می‌دهند که مدل ۱ خسارات شدیدی متحمل شده‌است، در حالی که خسارت در مدل ۲ بسیار کمتر است. در واقع جدایی دیوار شرقی از برج، نقشی بر جسته در بهبود عملکرد لرزه‌ای سازه داشته‌است. شدت خرابی‌ها در مدل ۱ بیان‌گر آن است که، دیوار شرقی (سمت چپ برج) سریعاً در زلزله تخربی شده و همین امر باعث عدم تداوم آنالیز لرزه‌ای سازه می‌شود.	آسیب‌پذیری کم (شکل ۲۲)	آسیب‌پذیری زیاد (شکل ۲۲)	وضعیت کلی سازه براساس کانتورهای ضریب اطمینان

جدول ۶ نتایج آنالیز مدل‌های ۱ و ۲ تحت زلزله ناغان

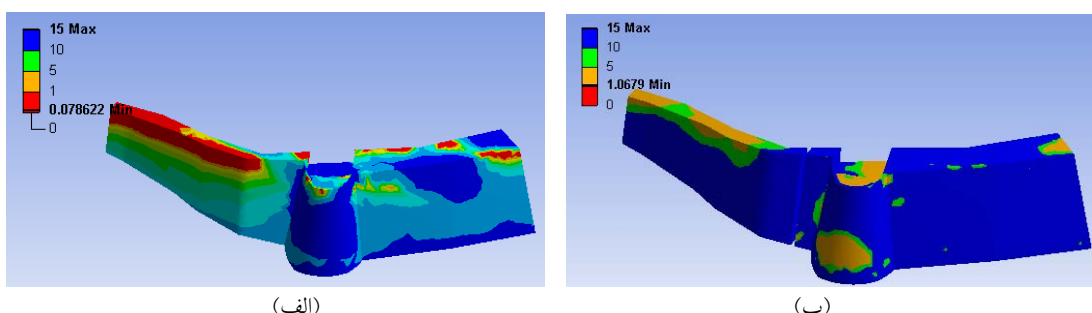
پارامتر مورد بررسی	مدل ۱	مدل ۲	توضیحات
وضعیت آنالیز	کامل شده	کامل شده	اثر زلزله ناغان بر روی مدل‌ها به شدت زلزله‌ی بم نیست، بنابراین آنالیز در هر دو مدل کامل شده است.
	۰/۰۰	۰/۰۰	زمان شروع آنالیز
	۵/۰۲	۵/۰۲	زمان پایان آنالیز (s)
پریود ارتعاشی سازه در شروع آنالیز (s)	۰/۳۲	۰/۳۱	پریود ارتعاشی سازه در شروع آنالیز (s)
	۰/۶۱	۰/۵۹	پریود ارتعاشی سازه در پایان آنالیز (s)
تنش کششی حداکثر (MPa)	۰/۱۸	۰/۲	ترک‌خوردگی در هر دو مدل ایجاد شده است.
تنش فشاری حداکثر (MPa)	۰/۳۳	۰/۲۶	تنش فشاری موجود در سازه در هر دو مدل کمتر از مقاومت فشاری مصالح (جدول ۲) است، که در نتیجه آن خردش‌گی در سازه محدود می‌باشد.
تفصیر شکل جانبی حداکثر (m)	۰/۰۵۳	۰/۰۶	تفصیر شکل جانبی در راس سازه هر دو مدل کمتر از حد مجاز شده است (یک درصد ارتفاع سازه، ۱۵/۰ متر) [۱۸].
وضعیت کلی سازه بر اساس کانتورهای ضربی اطمینان	آسیب‌پذیری تقریباً کم (شکل ۲۳)	بدون آسیب (شکل ۲۳)	کانتورهای ضربی اطمینان (شکل ۲۳)، نشان می‌دهند که دیوار شرقی (دیوار سمت چپ) برج در مدل ۲ تا حدودی متتحمل خسارت می‌شود، ولی خسارت خاصی به برج و دیوار شمالی (دیوار سمت راست برج) وارد نشده است. شدت خرابی‌ها در مدل ۱ بیان‌گر آن است که دیوار شرقی (سمت چپ برج) سریعاً در زلزله تخرب شده و همین امر باعث عدم تداوم آنالیز لرزه‌ای سازه می‌شود. براساس کانتورهای ضربی اطمینان (شکل ۲۳)، مدل ۲ در زلزله‌ی ناغان دچار آسیب نشده است.

جدول ۷ نتایج آنالیز مدل‌های ۱ و ۲ تحت زلزله‌ی استترو

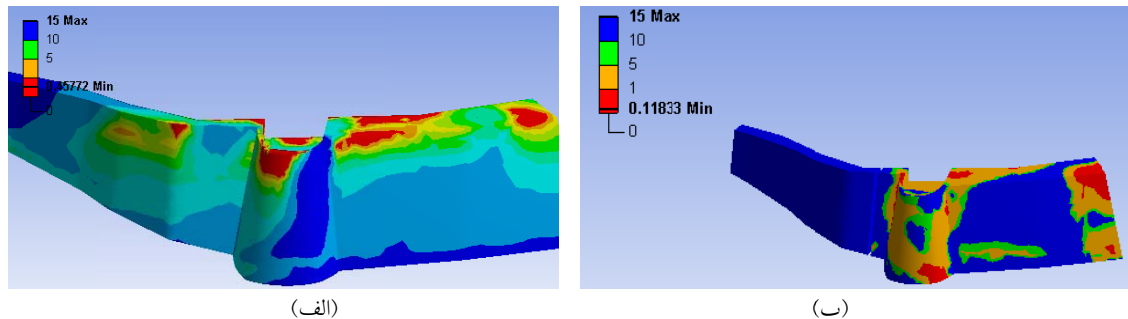
توضیحات	مدل ۲	مدل ۱	پارامتر مورد بررسی
اثر زلزله‌ی استترو بر روی مدل‌ها به شدت زلزله‌ی بم نیست، بنابراین آنالیز در هر دو مدل کامل شده است.	کامل شده	کامل شده	وضعیت آنالیز
	۰/۰۰	۰/۰۰	زمان شروع آنالیز
	۳۷/۰۶	۳۷/۰۶	زمان پایان آنالیز (s)
پریود ارتعاشی در هر دو مدل تقریباً دو برابر شده، که بیان‌گر کاهش سختی سازه در اثر ترک خوردنگی و خردشیدگی است.	۰/۳۲	۰/۳۱	پریود ارتعاشی سازه در شروع آنالیز (s)
	۰/۶۱	۰/۵۹	پریود ارتعاشی سازه در پایان آنالیز (s)
ترک خوردنگی در هر دو مدل ایجاد شده است.	۰/۳۱	۰/۳	تشکشی حداکثر (MPa)
تششی فشاری موجود در سازه در هر دو مدل کمتر از مقاومت فشاری مصالح (جدول ۲) است، که در نتیجه‌ی آن خردشیدگی در سازه محدود می‌باشد.	۰/۳	۰/۳	تششکشی حداکثر (MPa)
تغییر‌شکل جانبی در راس سازه هر دو مدل کمتر از حد مجاز شده است (یک درصد ارتفاع سازه، ۰/۱۵ متر) [۱۸].	۰/۱	۰/۱	تغییر‌شکل جانبی حداکثر (m)
کانتورهای ضربی اطمینان (شکل ۲۴)، نشان می‌دهند که برج و دیوارهای دو سمت آن در مدل ۱، در برخی از نواحی بالای آن‌ها دچار خسارت شده‌اند؛ در مقابل، خسارت در مدل ۲، در ناحیه‌ی پایینی برج و برخی از نواحی بالایی دیوار سمت راست برج (دیوار شمالی) رخ داده است.	آسیب‌پذیری تقریباً کم (شکل ۲۴)	آسیب‌پذیری کم (شکل ۲۴)	وضعیت کلی سازه بر اساس کانتورهای ضربی اطمینان
شدت خرابی‌ها در زلزله‌ی استترو کمتر از زلزله‌ی بم بوده است.			



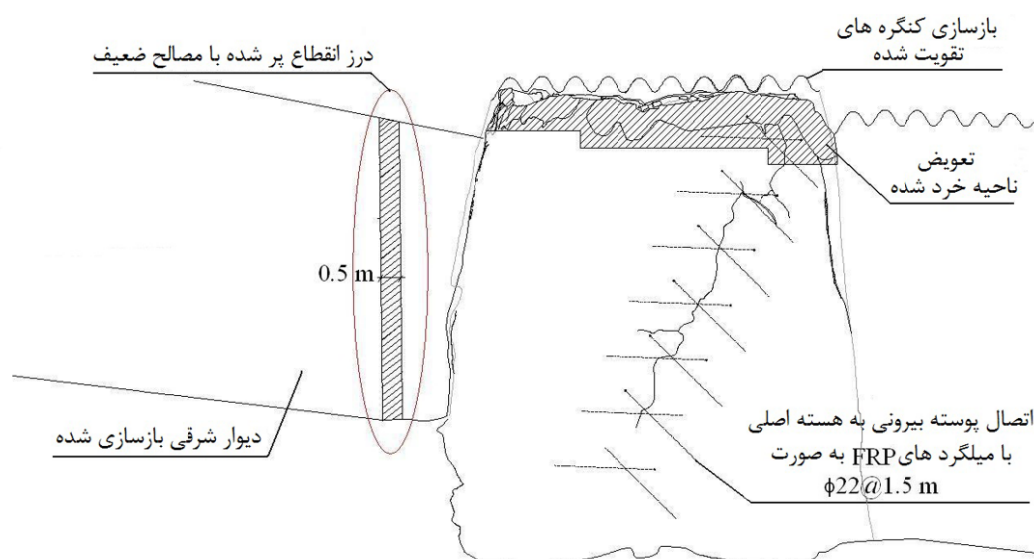
شکل ۲۲ کانتورهای ضربی اطمینان سازه در زلزله‌ی بم: (الف) مدل ۱، (ب) مدل ۲



شکل ۲۳ کانتورهای ضربی اطمینان سازه در زلزله‌ی نagan: (الف) مدل ۱، (ب) مدل ۲



شکل ۲۴ کانتورهای ضریب اطمینان سازه در زلزله‌ی استریو: (الف) مدل ۱، (ب) مدل ۲



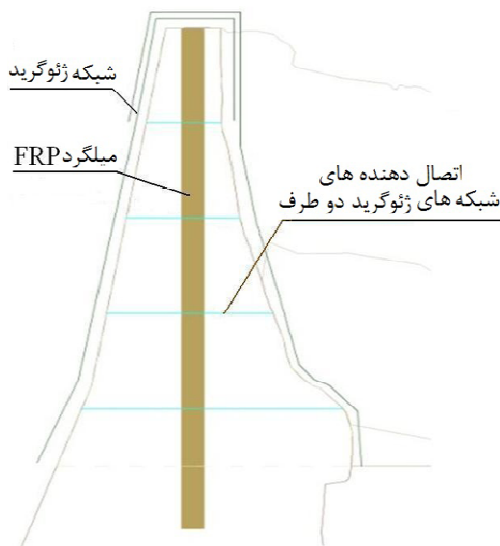
شکل ۲۵ طرح مرمت برج ۳۲ و دیوار شرقی آن

مرمت لايهی خارجی برج. خشت‌های خرد شده در لايهی بیرونی برج باید حذف و توسط آجرهای خشتی و ملات گل مشابه جایگزین شوند. ترکخوردگی روی این لايه نیز باید توسط میلگردهای FRP (به قطر ۲۲ میلی‌متر) مطابق آنچه در شکل ۲۵ مشاهده می‌شود دوخته شوند. این میلگردها باید به طول حداقل $1/5$ متر در بدنه برج به صورت مورب کاشته شوند (توضیط سوراخ کاری با منهی مخصوص و سپس تزریق ملات مناسب و سازگار با مصالح سازه به داخل سوراخ‌ها و در نهایت جایگذاری میلگردهای FRP)، تا میلگرد به طور کامل دو طرف لايهی ترکخوردگی خارجی

طرح مرمت

بازسازی دیوار شرقی و درز انقطاع. دیوار تخریب شده‌ی سمت شرقی برج باید توسط آجرهای خشتی بازسازی شود. جهت جلوگیری از وقوع خسارت در زلزله‌های آتی، باید این دیوار توسط یک درز انقطاع به عرض $0/5$ متر در امتداد ارتفاع دیوار و به فاصله‌ی ۵ متر از برج، جداسازی شود (شکل ۲۵). این درز باید با مصالح ضعیف مانند رس متراکم شده پر شود تا دیوار شرقی در زلزله به راحتی و بدون ایجاد سختی، از برج جدا شود و عملکرد مجزا داشته باشد.

آنالیزهای سازه‌های نشان دهنده‌ی آن بوده است که چوب با ابعاد کوچک (به‌طوری که قابلیت جاگذاری بدون تأثیر بر اندازه کنگره‌ها را داشته باشد) مقاومت و سختی لازم را جهت عملکرد مناسب کنگره‌های سازه فراهم نمی‌سازد.



شکل ۲۶ تقویت کنگره‌ها با میلگردهای FRP و الیاف ژئوگرید

نتیجه‌گیری

نتایج حاصل از مطالعات انجام گرفته در پروژه مرمت برج ۳۲ در ارگ بم به شرح زیر است:

۱- سازه‌ی برج را نباید دقیقاً به صورت وضعیت قبل از زلزله مرمت نمود، زیرا همان محل‌های آسیب‌دیده‌ی فعلی مجدداً دچار آسیب و تخریب خواهد شد. زمان وقوع تخریب ۱/۹۶ ثانیه بعد از وقوع زلزله‌ای مشابه زلزله‌ی بم می‌باشد.

۲- ضعیفترین ناحیه‌ی سازه‌ی محل اتصال دیوار شرقی به برج ۳۲ می‌باشد، که باعث خرابی این دیوار شده است. حتی با تغییر در هندسه‌ی ناحیه‌ی اتصال نیز نمی‌توان از تمرکز تنش و خرابی در این ناحیه جلوگیری کرد.

۳- ایجاد یک درز انقطاع به عرض ۰/۵ متر در کل ارتفاع دیوار شرقی و به فاصله‌ی ۵ متری از برج

(به ضخامت ۱/۵ متر) را بهم وصل کند. ملات مورد استفاده برای ایجاد گیرایی بین میلگردهای FRP و خشت دارای پایه‌ی خاک و آهک با ترکیب مخصوص می‌باشد که قبلاً در پروژه‌ی دیگری در ارگ بم طراحی شده و به دست آمده است [۱۰]. مؤثر بودن استفاده از میلگردهای FRP و مقادیر طول‌های لازم برای گیرایی آنها نیز قبلاً در چند پروژه‌ی دیگر در ارگ بم به اثبات رسیده است [۲۱ و ۱۰، ۱].

بازسازی و تقویت کنگره‌ها. اکثر کنگره‌های روی برج و باروهای ارگ بم به‌دلیل ضعف مصالح خشت در خمین ناشی از تغییرشکل‌های جانبی و عدم اتصال مناسب به بدنۀ برج‌ها و دیوارها، در زلزله تخریب شده‌اند. از این رو کنگره‌های تخریب‌شده برج ۳۲ و دیوار شرقی آن باید بازسازی و تقویت شوند. این تقویت با جاگذاری و تعییه یک میلگرد FRP به صورت عمودی (به قطر ۲۲ میلی‌متر و طول ۱/۸ متر) در میانه‌ی هر کنگره انجام می‌شود. سپس روی خشت‌های کنگره یک لایه ژئوگرید (در دو طرف هر کنگره) مطابق شکل (۲۶) قرار گرفته و توسط اتصال دهنده‌های مناسب در میانه هر کنگره این مش بندي دوطرفه بهم وصل می‌شود تا در گیری کافی بین ژئوگرید و خشت جهت عملکرد توان در خمین به وجود آید. جهت حفظ اصالت منظر، برای نماسازی یک لایه کاهگل کنگره‌ها را به صورت کامل پوشش می‌دهد.

استفاده از مصالح غیرطبیعی مانند FRP و ژئوگرید به جای چوب یا الیاف‌های طبیعی ساخته شده از درخت خرما و یا مصالح مشابه، در طرح تقویت و مرمت بنا به‌دلیل آن است که از پوسیدگی و خوردگی و در نتیجه نابودی المان‌های تقویت در اثر عوامل جوی یا موریانه جلوگیری شود. از طرف دیگر

شده روی برج و همین طور دیوار شرقی با میلگرد های FRP (جهت افزایش سختی و اتصال به بدنه برج یا دیوار) و الیاف ژئوگرید (جهت افزایش قابلیت خمش پذیری) تقویت و بازسازی خواهد شد.

قدرتانی

این کار با حمایت مالی حاصل از قرارداد شماره‌ی ۱۳۸۴/۲۳ مورخ ۸۳/۹۴۹ بین نویسنده‌ی اول (عضو هیئت علمی دانشگاه اصفهان به عنوان موسسه‌ی پژوهشی) و پروژه‌ی نجات بخشی میراث فرهنگی بم (سازمان میراث فرهنگی، صنایع دستی و گردشگری کشور به عنوان کارفرما) با موضوع پروژه‌ی مطالعه و آسیب‌شناسی دیوار شمالی و ارائه طرح مرمت برج ۳۲ انجام شده است.

می‌تواند رفتار لرزه‌ای سازه را به میزان زیادی بهبود بخشد. این درز با مصالحی ضعیف پر شده و سچس نواحی تخریب شده دیوار شرقی بازسازی خواهند شد. در این حالت، در اثر وقوع زلزله‌ای شبیه به زلزله‌ی بم حداقل تنش‌های فشاری ایجاد شده برابر ۵۶ درصد مقاومت تنش فشاری مصالح است ولی در برخی از قسمت‌ها تنش‌های کششی از مقاومت کششی مصالح تجاوز می‌کنند و باعث ایجاد خسارات جزئی می‌شوند که به سادگی قابل مرمت خواهد بود.

۴- به منظور مرمت برج ۳۲، خشت‌های خرد شده روی جداره‌ی بیرونی برج باید حذف و جهت جایگزینی از آجر و ملات خشتی سازگار با بنا استفاده شود. قسمت‌های ترک‌خورده روی این جداره نیز با میلگرد های FRP (که پوسته‌ی برج را به هسته آن وصل می‌کنند) دوخته می‌شوند. کنگره‌های تخریب

مراجع

- 1- حجازی، مهرداد، "پروژه مطالعه و آسیب‌شناسی دیوار شمالی و ارائه طرح مرمت برج ۳۲"، گزارش نهایی، دانشگاه اصفهان و سازمان میراث فرهنگی، صنایع دستی و گردشگری کشور، اصفهان و بم، (۱۳۸۹).
2. Hejazi, M., Mokhtari, E., Tehrani, F., Shirazi, B. and Khatooni, N., "Preliminary structural studies of the adobe tower No. 32 of the Bam citadel", *Proceedings of the 10th International Conference on the Study and Conservation of Earthen Architectural Heritage (Terra2008)*, Bamako, (2008).
3. Vargas, J., Blondet, M., Ginocchio, F. and García, G., "35 Años de investigaciones en sismo adobe: la tierra armada", *International Conference SismoAdobe 2005: Architecture, Construction and Conservation of Earthen Buildings in Seismic Areas*, Lima, Pontificia Universidad Católica del Perú, Lima, (2005).
4. Leroy Tolles, E., Kimbro, E. E., Webster, F. A. and Ginell, W. S., "Seismic stabilization of historic adobe structures: final report of the Getty Seismic Adobe Project", *J. Paul Getty Trust*, Los Angeles, CA, (2000).
5. Leroy Tolles, E., Kimbro, E. E. and Ginell, W. S., "Planning and engineering guidelines for the retrofitting of historic adobe structures", *J. Paul Getty Trust*, Los Angeles, CA, (2002).

6. Avrami, E., Guillaud, H. and Hardy, M., "Terra literature review: an overview of research in earthen architecture conservation", *J. Paul Getty Trust*, Los Angeles, CA (2008).
7. Noguez, R. and Navarro, S., "Reparación de muros de adobe com el uso de mallas sintéticas", *International Conference SismoAdobe 2005: Architecture, Construction and Conservation of Earthen Buildings in Seismic Areas*, Lima, Pontificia Universidad Católica del Perú, Lima, (2005).
8. Yamin, L., Phillips, C., Reyes, J., Rivero, S. and Ruiz, D., "Estudios de vulnerabilidad sísmica, rehabilitación y refuerzo de casas en adobe y tapia pisada", *Revista de Estudios sobre Património, Journal of Cultural Heritage Studies*, ISSN 1657-9763, (2007).
9. Figueiredo, A., Varum, H., Costa, A., Silveira, D. and Oliveira, C., "Seismic retrofitting solution of an adobe masonry wall," *Materials and Structures*, Vol. 46 (1-2), pp. 203-219, (2013).
- 10- مهندسین مشاور خدمات مهندسی مکانیک خاک، "استحکام بخشی و دوخت و دوز سازه های خشتشی ارگ بهم"، گزارش های شماره ۱ تا ۳، تهران، (۱۳۸۵).
- 11- حجازی، مهرداد، "رمت و بازسازی یک حجره خشتشی در بازار ارگ بهم"، گزارش نهایی، دانشگاه اصفهان و سازمان میراث فرهنگی، صنایع دستی و گردشگری کشور، اصفهان و بهم، (۱۳۸۹).
12. Hejazi, M. and Mehdizadeh Saradj, F., "Persian Architectural Heritage: Architecture", WIT Press, Southampton and Boston, (2014).
13. Hejazi, M. and Mehdizadeh Saradj, F., "Persian Architectural Heritage: Conservation", WIT Press, Southampton and Boston, (2014).
14. Hejazi, M. and Mehdizadeh Saradj, F., "Persian Architectural Heritage: Structure", WIT Press, Southampton and Boston, (2014).
15. ICOMOS, "International Charter for the Conservation and Restoration of Monuments and Sites (the Venice Charter 1964)", *International Council on Monuments and Sites* (ICOMOS), Paris, (1964).
16. ICOMOS, "Recommendations for the Analysis, Conservation and Structural Restoration of Architectural Heritage (the Barcelona Charter 2005)", International Council on Monuments and Sites (ICOMOS) – International Scientific Committee for Analysis and Restoration of Structures of Architectural Heritage (ISCARSAH), Paris, (2005).
17. Zecher, J. and Dadkhah, F., "ANSYS Workbench Software Tutorial with Multimedia CD Release 11", Schroff Development Corporation, New York, (2008).
- 18- مرکز تحقیقات ساختمان و مسکن، "آین نامه طراحی ساختمان ها در برابر زلزله، استاندارد ۲۸۰۰"، ویرایش سوم، تهران، (۱۳۸۴).
- 19- زارع، مهدی، "گزارش مقدماتی شناسایی مناطق زلزله بهم"، سایت اینترنتی پژوهشگاه بین المللی زلزله شناسی و مهندسی زلزله، تهران.

20. Vargas, J., Blondet, M. and Tarque, N., "Summary of building codes for earthen buildings in seismic areas: the Peruvian experience", *Proceedings of the 8th U.S. National Conference on Earthquake Engineering*, San Francisco, California, (2006).
21. Hejazi, M., "Historical Buildings of Iran: their Architecture and Structure", *Computational Mechanics Publications (WIT Press)*, Southampton and Boston, (1997).